

# SMC e Pendolo Inverso: Controllo & Simulazione

Andrea Boscolo Camiletto

L'obiettivo di questo progetto è di sintetizzare e validare un controllore Sliding Mode in un pendolo inverso, simulandolo in Gazebo e valutandone la robustezza.

Per conseguire questo obiettivo è stato utilizzato Gazebo come simulatore fisico, ROS per il controllo dei giunti e Python per il codice del controllore, nonché per i calcoli simbolici e la risoluzione numerica delle equazioni differenziali.

## Analisi del problema

La descrizione dinamica del problema è discretamente semplice, e si può raggiungere sia attraverso le equazioni di Newton che tramite la Lagrangiana. Il risultato è il seguente:

$$\begin{cases} (M + m)\ddot{x} - ml\ddot{\theta} \cos \theta + ml\dot{\theta}^2 \sin \theta = u \\ l\ddot{\theta} - g \sin \theta = \ddot{x} \cos \theta \end{cases}$$

Dove le grandezze che compaiono nelle equazioni sono coerenti con la figura 1.

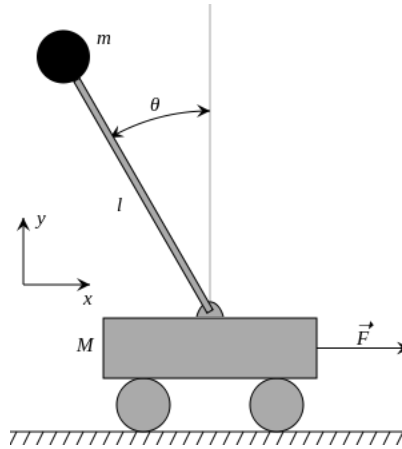


Figure 1: Schema del problema in analisi

Il sistema, chiaramente non lineare, è piuttosto complesso (e calcoloso) da affrontare come tale. Si noti inoltre come un'approssimazione lineare del sistema sia particolarmente sensata viste le specifiche d'uso del sistema.

Linearizzando otteniamo:

$$\begin{cases} (M + m)\ddot{x} - ml\ddot{\theta} = u \\ l\ddot{\theta} - g\theta = \ddot{x} \end{cases}$$

A questo punto potremmo pensare di scrivere una sola equazione in funzione di solo  $\theta$  e delle sue derivate. Ciò ci semplificherebbe di molto i conti, e porterebbe a un sistema stabile, ma non avremmo controllo sulla variabile  $x$ , ciò significa che il controllore non contrasta un moto a velocità costante.

Sia  $\mathbf{x} = (x, \dot{x}, \theta, \dot{\theta})$ . Scriviamo il sistema in forma di stato:

$$\dot{\mathbf{x}} = \begin{pmatrix} 0 & 1 & 0 & 0 \\ 0 & 0 & \frac{m}{M}g & 0 \\ 0 & 0 & 0 & 1 \\ 0 & 0 & \frac{M+m}{MI}g & 0 \end{pmatrix} \mathbf{x} + \begin{pmatrix} 0 \\ \frac{1}{M} \\ 0 \\ \frac{1}{MI} \end{pmatrix} \mathbf{u}$$

## Ricerca della superficie di Sliding

La nostra superficie di sliding sarà una combinazione lineare degli stati, dunque possiamo scriverla come:

$$s = C\mathbf{x} = \begin{pmatrix} c_1 & c_2 & c_3 & c_4 \end{pmatrix} \begin{pmatrix} x_1 \\ x_2 \\ x_3 \\ x_4 \end{pmatrix} = c_1x_1 + c_2x_2 + c_3x_3 + c_4x_4$$

Imponendo la condizione di  $\dot{s}(x) = 0$  possiamo escludere  $u$  dalle equazioni di moto e ottenere la traiettoria *ideale* del sistema, senza chattering. Ci vogliamo assicurare che questa sia limitata e non diverga.

$$\dot{\mathbf{x}} = [I - B(CB)^{-1}C] A\mathbf{x}$$

Ora per mantenere il testo leggibile e comprensibile sostituiamo i valori fisici del problema:  $m = 1Kg$ ,  $M = 1Kg$ ,  $l = 1m$ ,  $g = 10m/s^2$ .

$$\dot{\mathbf{x}} = \begin{pmatrix} 0 & 1 & 0 & 0 \\ 0 & -\frac{c_1}{c_2+c_4} & -\frac{10c_2}{c_2+c_4} - \frac{20c_4}{c_2+c_4} + 10 & -\frac{c_3}{c_2+c_4} \\ 0 & 0 & 0 & 1 \\ 0 & -\frac{c_1}{c_2+c_4} & -\frac{10c_2}{c_2+c_4} - \frac{20c_4}{c_2+c_4} + 20 & -\frac{c_3}{c_2+c_4} \end{pmatrix} \mathbf{x}$$

Dalla quale si ricava un'equazione caratteristica:

$$l(c_1l^2 - 10c_1 + c_2l^3 - 10c_2l + c_3l^2 + c_4l^3) = 0$$

Come evidente, non è possibile rimuovere il polo in zero.

Questo però non deve sorprendere: il sistema è agnostico della posizione iniziale  $x_0$  e più in generale della posizione lungo  $x$ . Non è pensabile imporre una traiettoria che converga anche su  $x$ .

Ciò però non è un problema: ci è sufficiente che sia limitata superiormente ed inferiormente! Ponendo i 3 poli liberi in  $-1$  si ottiene:

$$c_1 = -0.1$$

$$c_2 = -0.3$$

$$c_3 = 3.1$$

$$c_4 = 1.3$$

## Sintesi del Controllore

Per sintetizzare il controllore effettivo usiamo il metodo di diagonalizzazione. Ciò significa che definiamo:

$$\mathbf{u}_c(t) = Q^{-1}(t, x) \frac{\partial s}{\partial x} B \mathbf{u}(t)$$

Dove per comodità poniamo  $Q = I$ . In questo caso svolgendo i conti si ottiene  $\mathbf{u}_c(t) = \mathbf{u}(t)$ .

Come è lampante analizzando il luogo dei punti descritto da  $s$  con Lyapounov  $V = \frac{1}{2}s^2$ , imponiamo che  $s \cdot \dot{s} < 0 \forall s \neq 0$ . Supponiamo  $\mathbf{u}_c = -K\mathbf{x}$ , otterremo:

$$s = -0.1x_1 - 0.3x_2 + 3.1x_3 + 1.3x_4$$

$$\dot{s} = -k_1x_1 + x_2(-k_2 - 0.1) + x_3(23.0 - k_3) + x_4(3.1 - k_4)$$

Che con un po' di casistica ci porta a:

$$k_1 = \begin{cases} > 0 & \text{se } s \cdot x_1 > 0 \\ < 0 & \text{se } s \cdot x_1 < 0 \end{cases} \quad k_3 = \begin{cases} > 23 & \text{se } s \cdot x_3 > 0 \\ < 23 & \text{se } s \cdot x_3 < 0 \end{cases} \quad \text{Da}$$

$$k_2 = \begin{cases} > -0.1 & \text{se } s \cdot x_2 > 0 \\ < -0.1 & \text{se } s \cdot x_2 < 0 \end{cases} \quad k_4 = \begin{cases} > 3.1 & \text{se } s \cdot x_4 > 0 \\ < 3.1 & \text{se } s \cdot x_4 < 0 \end{cases}$$

cui scegliendo dei valori opportuni si ottiene un controllore SMC

## Simulazione Numerica

Risolvendo le equazioni con un ODE, e imponendo come condizioni di partenza  $x = 0.01$ ,  $\dot{x} = 0.01$ ,  $\theta = 0.01$ ,  $\dot{\theta} = 0.01$  si ottiene il seguente andamento:

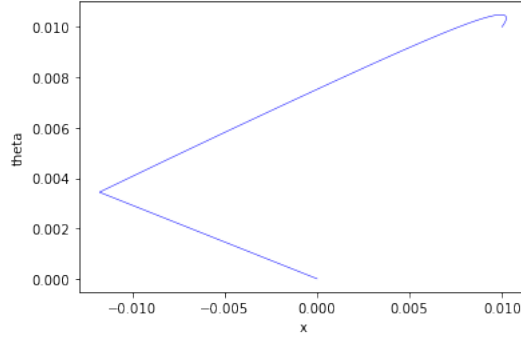


Figure 2: Traiettoria nel piano  $(x, \theta)$

E' interessante notare come siano ben distinguibili le due fasi, di rincorsa e aggancio della traiettoria di sliding.

## Simulazione Fisica - Valutazione Robustezza

Nel setappare la simulazione fisica sono stati implementati diversi cambiamenti alla dinamica del sistema, che vediamo in figura qui sotto:

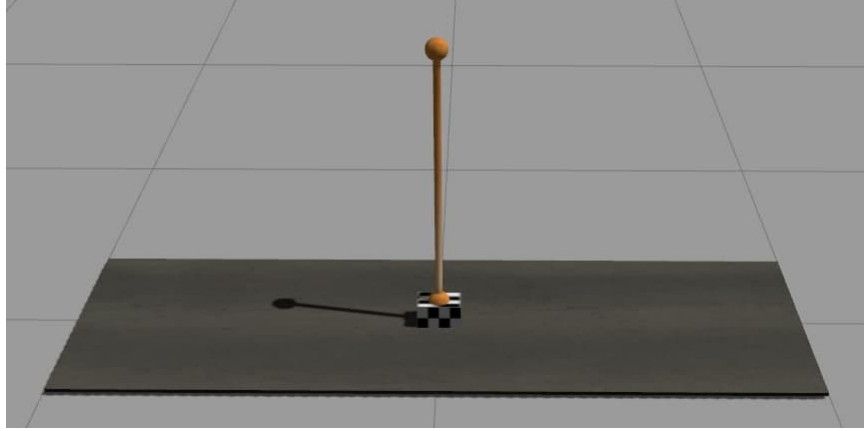


Figure 3: Simulazione all'istante iniziale

In particolare, ci soffermiamo sulle seguenti criticità rispetto al sistema iniziale:

- L'asta qui non ha massa nulla, ma pesa  $0.1Kg$
- L'asta qui non è lunga  $1m$ , ma  $70cm$
- Il giunto rotoidale a forma di sfera qui non ha massa nulla, ma pesa  $0.1Kg$
- Il giunto rotoidale qui è smorzato
- E' presente un disturbo gaussiano applicato sulla sfera superiore

Complessivamente ciò porta a una dinamica del sistema sostanzialmente diversa da quella iniziale, nonostante ciò il controllore funziona comunque bene ed è robusto ai disturbi, come è possibile osservare dal video al seguente [link](#).

E' interessante notare come se aggiungiamo un attrito al giunto con un coefficiente di  $0.1$  il sistema non sia più stabile ma abbia delle oscillazioni costanti.

## Conclusioni

Il controllore SMC ottenuto è senza dubbio molto robusto: anche un radicale cambio di parametri nel sistema e un disturbo esterno restano nei limiti di utilizzabilità.

Non deve sorprendere come un cambio della dinamica così forte come l'introduzione di un fattore di attrito tenda a destabilizzare il sistema. Un fattore tale andrebbe introdotto direttamente nella descrizione del sistema.

Per concludere, il codice scritto per questo progetto è disponibile interamente alla mia pagina github [https://github.com/abcamiletto/SMC\\_invPendulum](https://github.com/abcamiletto/SMC_invPendulum)